

順序つき固有値 (と L 関数零点) の連結分布

Tracy-Widom method for Jánossy densities of random matrices

西垣 真祐 [島根大]

PTEP(2021)113A01 (17 ページ)

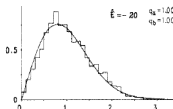
離散的手法による場と時空のダイナミクス 2022

2022/8/22~25 東京理科大

ランダム行列

量子カオス系の準位統計

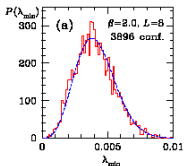
- ・ Gutzwiller 跡公式



$N \rightarrow \infty$
 行列積分

南部-Goldstoneボソンの有効ポテンシャル on G/H

- ・ QCD Dirac 準位



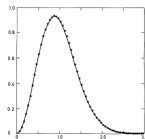
量子的時空の創発

- ・ ランダム面/非臨界弦
- ・ IKKT 行列模型
- ・ SYK 模型, ...



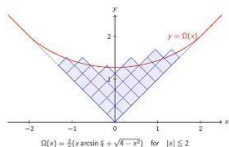
数論的量子カオス

- ・ Selberg 跡公式
- ・ L 関数零点統計



組合せ論

- ・ 最長増加部分列
- ・ 2D, 3D tiling, ...



- 1 Introduction：順序つき固有値分布
- 2 行列式点過程と Jánosy 密度
- 3 TW 法の適用可能性
- 4 最大/小固有値の連結分布

1 Introduction

固有値分布

unitary 群の測度 → 固有位相の JPD

$$\begin{aligned}
 \text{JPD}(\lambda_0, \dots, \lambda_{N-1}) &= \prod_i w(\lambda_i) \cdot \prod_{i>j} |\lambda_i - \lambda_j|^2 && U = u^\dagger \text{diag}(\lambda_0, \dots, \lambda_{N-1}) u \\
 &= \prod_i w(\lambda_i) \cdot \det[\lambda_i^k] \cdot \det[\lambda_j^k]^* && \text{: VdM 行列式} \\
 &= \prod_i w(\lambda_i) \cdot \det[P_k(\lambda_i)] \cdot \det[P_k(\lambda_j)]^* && \text{: 直交多項式} \\
 &= \det[\varphi_k(\lambda_i)] \cdot \det[\varphi_k(\lambda_j)]^* && \text{: 直交関数} \\
 &= \det \left[\sum_{k<N} \varphi_k(\lambda_i) \varphi_k^*(\lambda_j) \right] && \text{: 射影核 } \sum_{k<N} |k\rangle \langle k|
 \end{aligned}$$

3 項漸化式
 $\propto \det \left[\frac{\varphi_N(\lambda_i) \varphi_{N-1}^*(\lambda_j) - \varphi_{N-1}(\lambda_i) \varphi_N^*(\lambda_j)}{\lambda_i - \lambda_j} \right]$

局所漸近形
 $\rightarrow \det \left[\frac{\varphi(x_i) \psi(x_j) - \psi(x_i) \varphi(x_j)}{x_i - x_j} \right] := \det[K(x_i, x_j)]$

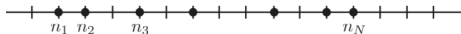
$\varphi(x) = \sin x$ (bulk), $\text{Ai}(x)$ ($\sim \text{max EV}$), $J_\nu(\sqrt{x})$ ($\sim \text{min EV}$)

行列式点過程 (DPP)

$\nu = 0, \frac{1}{2}, -\frac{1}{2}$ for $\frac{U}{U \times U}$, USp , $\text{O}_{2/26}$

Gap 確率

離散的 DPP



$$\text{Prob}(n_1, \dots, n_p \text{ に粒子がある}) = \det[K(n_i, n_j)]_{i,j=1}^p$$

↓

$$\text{Prob}(n \text{ に粒子がない}) = 1 - K(n, n)$$

n と n' に粒子がある引き過ぎを補正

$$\begin{aligned} \text{Prob}(n, n' \text{ に粒子がない}) &= 1 - K(n, n) - K(n', n') + \overbrace{\begin{vmatrix} K(n, n) & K(n, n') \\ K(n', n) & K(n', n') \end{vmatrix}} \\ &= \begin{vmatrix} 1 - K(n, n) & -K(n, n') \\ -K(n', n) & 1 - K(n', n') \end{vmatrix} \end{aligned}$$

... ..

$$\text{Prob}(\text{集合 } I \text{ に粒子がない}) = \det(\mathbb{I} - [K(n, n')]_{n, n' \in I})$$

↓

$$\text{Prob}(\text{集合 } I \text{ に粒子が } p \text{ 個}) = \frac{1}{p!} (-\partial_z)^p \det(\mathbb{I} - z[K(n, n')]_{n, n' \in I}) \Big|_{z=1}$$

順序つき固有値分布

Gap 確率 as Fredholm 行列式

$$\text{Prob}(\text{no EV} \in (a, b)) = \text{Det}(\mathbb{I} - \mathbf{K}|_{(a,b)})$$

核 \mathbf{K} : 積分演算子 $(\mathbf{K}|_{(a,b)} f)(x) = \int_a^b dy K(x, y) f(y)$

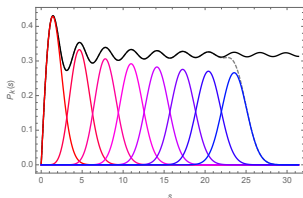
神保-三輪-毛利-佐藤 1980 : **バンド内部 (bulk)** $\mathbf{K}_{\text{sin}}|_{(0,s)} \Rightarrow \text{Painlevé V}$

Tracy-Widom 1993 : **バンド端 (soft 端)** $\mathbf{K}_{\text{Airy}}|_{(s,\infty)} \Rightarrow \text{Painlevé II}$

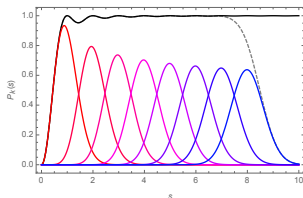
Tracy-Widom 1993 : **固定点近傍 (hard 端)** $\mathbf{K}_{\text{Bessel}}|_{(0,s)} \Rightarrow \text{Painlevé III}'_{(2,2k+1)}$

有限 N RM ($\text{CUE}_N \Rightarrow \text{Painlevé VI}$), RM+定数行列 : $\mathbf{K}_{\text{Peacey}}|_{(0,s)}$, 多重臨界 (超 Airy)

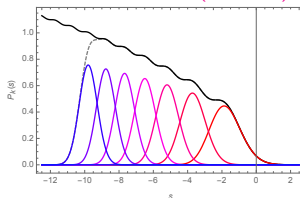
最小特異値分布



準位間隔分布

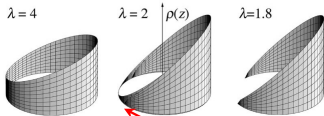


最大固有値分布 (TW 分布)

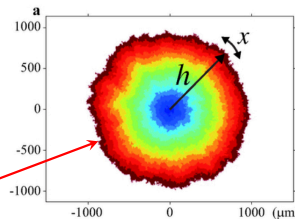


最大固有値 (TW) 分布

2D Yand-Mills [Forrester et al. 2010]

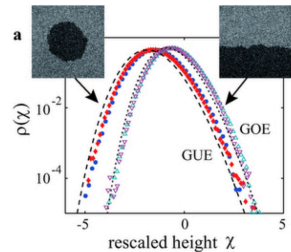
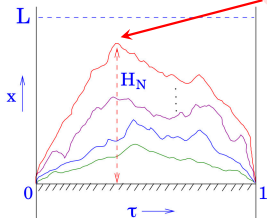


KPZ方程式 ⇨ 液晶界面成長
 [笹本-Spohn 2010] [竹内-佐野 2010]



強結合・弱結合境界
 での"中心極限定理"
 ⇨ TW分布

敵対的酔歩 [Baik 1999]



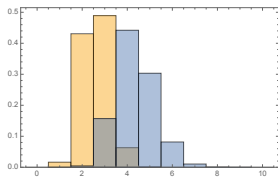
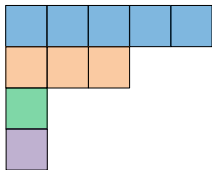
最大固有値分布 vs Ulam

対称群 \mathfrak{S}_N の k 次最長増加部分列 = Young tableaux の第 k 行の長さ

Baik-Deift-Johansson 1999,2000; Borodin-Okounkov-Olshanski 1999; Johansson 1999

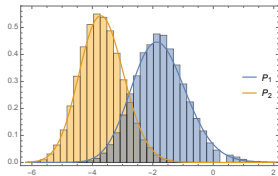
Okounkov 2000 (Fields 賞 2006) : RM \Rightarrow Riemann 面の単体分割 \Rightarrow 単分岐被覆の monodromy $\leftrightarrow \mathfrak{S}_N$

6 1 7 0 2 3 9 5 8 4



$N = 10, \#perm = 10! \approx 3M$

$\downarrow N \gg 1$



$N = 8096, \#sample = 30000$

最小固有値分布 vs Riemann

Dirichlet $L(s, \chi) = \sum_n \chi(n)n^{-s}$, **cuspidal** $L_f(s, \chi) = \sum_n \tau(n)\chi(n)n^{-s-a}$, ... の k^{th} 零点

\mathbb{Z}_d^\times の素な実指標 $\uparrow \chi(n)\chi(m) = \chi(nm) \pmod{d}$, $\chi \neq \chi' \circ \chi'' \quad \uparrow$ 保形形式の係数 $f(q) = \sum_n \tau(n)q^n$

• Hilbert-Pólya 予想 ca.1912: $L(\frac{1}{2} + ix) \stackrel{?}{=} \det(x - \hat{H})$, $\hat{H} = \hat{H}^\dagger$ 零点のスペクトル解釈

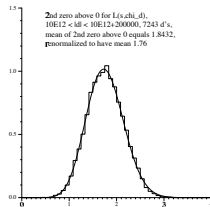
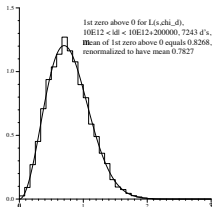
• Montgomery-Odlyzko 1972: \hat{H} は quantum chaotic, i.e.

一つの $L(s)$ の大きい零点のスペクトル平均 \Leftrightarrow 固有値の Haar 平均 (μ_U)

• Katz-Sarnak 1997: $L(\frac{1}{2} + ix, \chi_d)$ $d \xrightarrow{\text{平均}}$ $\langle \det(x - i \log U) \rangle_{\text{USp}(\infty)}$

$L(s, \chi), L_f(s, \chi), \dots$ の小零点の twist 平均 \Leftrightarrow 小固有値の Haar 平均 (μ_{USp}, μ_O)

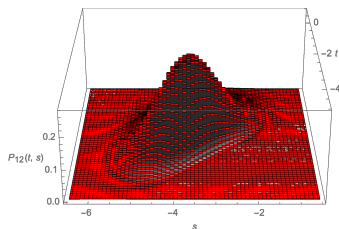
$L(s, \chi_d)$ の最小・第 2 零点の分布 $10^{12} < |d| < 10^{12} + 10^5$ [Rubinstein 1998]



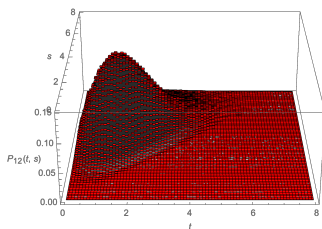
順序つき固有値分布

連結分布は?

最大 & 第 2 固有値の連結分布



最小 & 第 2 特異値の連結分布



$N = 128, \#sample = 10^7$

連結分布 $P_{12}(t, s) \Rightarrow$ **Isomonodromic 系**

Forrester-Witte 2007 : 70 頁 : **固定点近傍** \rightarrow IS for Painlevé III' \searrow 2 重極限での縮退

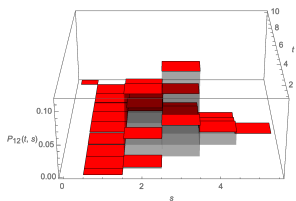
Witte-Bornemann-Forrester 2013 : 29 頁 : **バンド端** \rightarrow IS for Painlevé II

Perret-Schehr 2014 : 34 頁 : **バンド端** \rightarrow Lax pair for Painlevé XXXIV

順序つき固有値分布

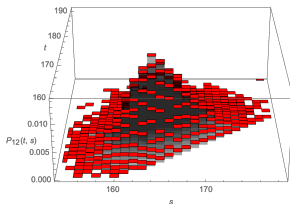
連結分布は?

最長 & 第 2 増加部分列の連結分布



$N = 10$

$N \gg 1$
 \longrightarrow



$N = 8096$

最小 & 第 2 零点の連結分布

?

Tracy-Widom 法

この問題を再訪する動機 :

- より **user-friendly** な解析的手法 !
- \forall integrable な核 $\mathbf{K} \doteq \frac{\varphi(x)\psi(y) - \psi(x)\varphi(y)}{x - y}$ or $\frac{f(x) \cdot g(y)}{x - y}$ に適用可能
- $1 \sim p$ 番目の固有値の連結分布 $P_{12 \dots p}(s_1, \dots, s_p)$ に拡張可能

答 : TW の関数解析的手法

- \mathbf{K} の要素が **多項式係数** m, A, B, C をもつ LDE \downarrow を満たすなら (SL(2)束の共変定数切断)
Lax 行列: traceless $\mathfrak{sl}(2)$

$$m(x) \frac{d}{dx} \begin{bmatrix} \varphi(x) \\ \psi(x) \end{bmatrix} = \overbrace{\begin{bmatrix} A(x) & B(x) \\ -C(x) & -A(x) \end{bmatrix}} \begin{bmatrix} \varphi(x) \\ \psi(x) \end{bmatrix},$$

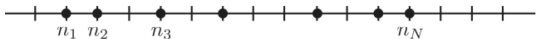
- $\text{Det}(\mathbb{I} - \mathbf{K}|_{(a,b)})$ は m, A, B, C の係数を含む Schlesinger PDE 系により決定される

を **gauge 変換された核 $\tilde{\mathbf{K}}$** に適用すればよい

② Janossy density in DPP

行列式点過程

離散的 DPP



N 個の fermion の確率分布: $P(n_1, \dots, n_N) = \frac{1}{N!} \det [K(n_i, n_j)]_{i,j=1}^N$

with 射影核: $\mathbf{K} = [K(n, n')]_{n, n' \in \mathfrak{X}} = \mathbf{K} \cdot \mathbf{K}, \quad \text{tr } \mathbf{K} = N$

↓

k 個の fermion の連結分布: $\rho_k(n_1, \dots, n_k) = \det [K(n_i, n_j)]_{i,j=1}^k$

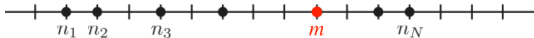
$I \subsetneq \mathfrak{X}$ に粒子がない確率 = $\det(\mathbb{I} - \mathbf{K}|_I), \quad \mathbf{K}|_I = [K(n, n')]_{n, n' \in I}$

全ての式は連続集合上の DPP にも該当
 $\rho_k(\{n\}) \rightarrow \rho_k(\{x\})dx_1 \cdots dx_k, \quad \det \rightarrow \text{Det}$

条件つき確率

1つの粒子を点 m に固定した 'transformed' 核

$$\tilde{K}(n, n') := K(n, n') - \frac{K(n, m)K(m, n')}{K(m, m)}$$



- 他の粒子は m を避ける : $K(n, m) = K(m, n') = 0$
- 射影性, 規格化を満たす : $\tilde{\mathbf{K}} = \left[\tilde{K}(n, n') \right]_{n, n' \in \mathfrak{X}} = \tilde{\mathbf{K}} \cdot \tilde{\mathbf{K}}, \quad \text{tr } \tilde{\mathbf{K}} = N - 1$
- **条件つき連結分布 (m は占有済)** に対する核になる :

$$\tilde{\rho}_1(n|m) = \frac{\rho_2(n, m)}{\rho_1(m)} = \frac{K(n, n)K(m, m) - K(n, m)K(m, n)}{K(m, m)} = \tilde{K}(n, n)$$

$$\begin{aligned} \tilde{\rho}_2(n_1, n_2|m) &= \frac{\rho_3(n_1, n_2, m)}{\rho_1(m)} \\ &= \frac{K(n_1, n_1)K(n_2, n_2)K(m, m) \pm (5 \text{ 項})}{K(m, m)} = \det \left[\tilde{K}(n_i, n_j) \right]_{i, j=1}^2, \text{ etc} \end{aligned}$$

条件つき確率

Lemma (1)

p 個の異なる点 m_1, \dots, m_p を固定して

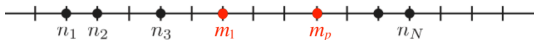
$$\kappa = [K(m_i, m_j)]_{i,j=1}^p, \quad \mathbf{k} = [K(m_i, n)]_{i=1, \dots, p}^{n \in \mathfrak{X}}, \quad \mathbf{K} = [K(n, n')]_{n, n' \in \mathfrak{X}}$$

このとき

$$\tilde{\mathbf{K}} = \mathbf{K} - \mathbf{k}^t \kappa^{-1} \mathbf{k}$$

は m_1, \dots, m_p が既に占拠された条件つき確率を与える:

$$\tilde{\rho}_k(n_1, \dots, n_k | m_1, \dots, m_p) = \det \left[\tilde{K}(n_i, n_j) \right]_{i,j=1}^k$$



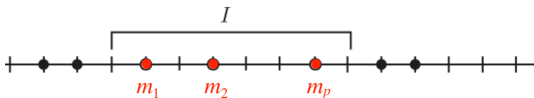
この Lemma から直ちに...

Jánossy 密度

Lemma (2)

部分集合 I が m_1, \dots, m_p 以外は粒子を含まない条件付き確率は

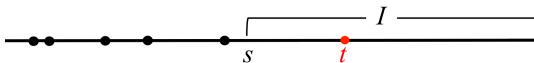
$$\tilde{J}_p(I | m_1, \dots, m_p) = \det(\mathbb{I} - \tilde{\mathbf{K}}|_I), \quad \tilde{\mathbf{K}}|_I = \left[\tilde{K}(n, n') \right]_{n, n' \in I}$$



Jánossy 密度 : I がちょうど p 個の粒子 @ m_1, \dots, m_p を含む確率

$$J_p(I; m_1, \dots, m_p) = \rho_k(m_1, \dots, m_p) \cdot \det(\mathbb{I} - \tilde{\mathbf{K}}|_I)$$

最大 $\sim p$ 番目の連結分布 : $P_{12\dots p}(t, t', \dots, s) = \partial_s J_p((s, \infty); t, t', \dots)$



3 Applicability of T-W method

TW 法の適用可能性

Tracy-Widom 法の適用可能条件 (1994) :

- ① 核が Christoffel-Darboux 型 : $\mathbf{K} \doteq \frac{1}{x-y} [\varphi(x), -\psi(x)] \begin{bmatrix} \psi(y) \\ \varphi(y) \end{bmatrix} := \frac{\bar{\Psi}(x)\Psi(y)}{x-y}$
- ② 2 成分関数 $\Psi(x)$ が有理係数 1 階 LDE を満たす : $(\partial_x + \mathcal{A}(x)) \Psi(x) = 0, \text{tr } \mathcal{A}(x) = 0$
 ならば, $\text{Det}(\mathbb{I} - \mathbf{K}|_{(a,b)})$ は $\mathcal{A}(x)$ の係数を含む Schlesinger PDE 系により決定される

Theorem

核 \mathbf{K} が TW 法の適用可能条件を満たすならば, transformed 核 $\tilde{\mathbf{K}}$ も満たす

Proof.

ある点 t を避ける

$$\tilde{\Psi}(x) = \Psi(x) - \frac{K(x,t)}{K(t,t)} \Psi(t) = U(x)\Psi(x), \quad U(x) = \mathbb{I} + \frac{\Psi(t)\bar{\Psi}(t)}{K(t,t)(x-t)} : \begin{array}{l} \text{有理型} \\ \text{SL}(2)\text{gauge 変換} \end{array}$$

によって transformed 核は $\tilde{\mathbf{K}} \doteq K(x,y) - \frac{K(x,t)K(t,y)}{K(t,t)} \stackrel{!}{=} \frac{\tilde{\Psi}(x)\tilde{\Psi}(y)}{x-y}$ と表され,

$$(\partial_x + \tilde{\mathcal{A}}(x))\tilde{\Psi}(x) = 0, \quad \text{tr } \tilde{\mathcal{A}}(x) = \text{tr} \{U(x)\mathcal{A}(x)U(x)^{-1} - \partial_x U(x) \cdot U(x)^{-1}\} = 0$$

TW 法の適用可能性

具体的構成:

$$K(x, y) = \frac{\varphi(x)\psi(y) - \psi(x)\varphi(y)}{x - y}, \quad m(x) \frac{d}{dx} \begin{bmatrix} \varphi(x) \\ \psi(x) \end{bmatrix} = \begin{bmatrix} A(x) & B(x) \\ -C(x) & -A(x) \end{bmatrix} \begin{bmatrix} \varphi(x) \\ \psi(x) \end{bmatrix}$$

↓

$$\tilde{K}(x, y) = \frac{\tilde{\varphi}(x)\tilde{\psi}(y) - \tilde{\psi}(x)\tilde{\varphi}(y)}{x - y}, \quad m(x) \frac{d}{dx} \begin{bmatrix} \tilde{\varphi}(x) \\ \tilde{\psi}(x) \end{bmatrix} = \begin{bmatrix} \tilde{A}(x) & \tilde{B}(x) \\ -\tilde{C}(x) & -\tilde{A}(x) \end{bmatrix} \begin{bmatrix} \tilde{\varphi}(x) \\ \tilde{\psi}(x) \end{bmatrix}$$

$$\tilde{\varphi}(x) = \varphi(x) - \frac{b(a\varphi(x) - b\psi(x))}{x - t} \quad a = \frac{\psi(t)}{\sqrt{K(t, t)}}, \quad b = \frac{\varphi(t)}{\sqrt{K(t, t)}}$$

$$\tilde{\psi}(x) = \psi(x) - \frac{a(a\varphi(x) - b\psi(x))}{x - t}$$

$$\tilde{A}(x) = A(x) + \frac{a^2 B(x) - b^2 C(x)}{x - t} - \frac{ab(2abA(x) + a^2 B(x) + b^2 C(x) - m(x))}{(x - t)^2}$$

$$\tilde{B}(x) = B(x) - \frac{2b(bA(x) + aB(x))}{x - t} + \frac{b^2(2abA(x) + a^2 B(x) + b^2 C(x) - m(x))}{(x - t)^2}$$

$$\tilde{C}(x) = C(x) + \frac{2a(aA(x) + bC(x))}{x - t} + \frac{a^2(2abA(x) + a^2 B(x) + b^2 C(x) - m(x))}{(x - t)^2}$$

m, A, B, C は多項式 \Rightarrow 全体に $\times(x - t)^2$ すれば新たな $\tilde{m}, \tilde{A}, \tilde{B}, \tilde{C}$ も多項式 □

物理的適用

- ① 固有値を t に固定 \Rightarrow 行列 H の確率分布に $\det(H - t)^2$ をかける

$$\prod_{i=1}^N w(x_i) \cdot \prod_{i>j}^N (x_i - x_j)^2 \Big|_{x_N=t} \propto \prod_{i=1}^{N-1} \underbrace{w(x_i)(x_i - t)^2}_{\tilde{w}(x_i;t)} \cdot \prod_{i>j}^{N-1} (x_i - x_j)^2$$

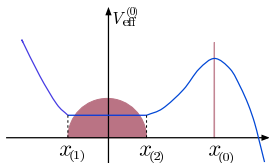
条件つき確率 $\tilde{\rho}_k(x_1, \dots, x_k | t_1, \dots, t_p)$ for weight $w(x)$

= 条件なし確率 $\rho_k(x_1, \dots, x_k)$ for weight $\tilde{w}(x; t_1, \dots, t_p)$

quenched QCD \Rightarrow 2-flavor QCD, $m_u^2 = m_d^2 = -t$ [Damgaard-西垣 2001]

- ② 有限個の固有値を主サポート外に配置 \Rightarrow 非臨界弦における ZZ branes

$$Z_N^{(1 \text{ inst})} = N Z_{N-1}^{(0 \text{ inst})} \times \int_{\mathbb{R} \setminus [x_{(1)}, x_{(2)}]} dt w(t) \langle \det(H - t)^2 \rangle_{(0 \text{ inst})}$$

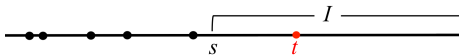


[花田-早川-石橋-川合-黒木-松尾-多田 2004, 鈴木-土屋 2005]

4 Joint distributions of extremal EVs

Jánossy 密度 for K_{Airy}

$\tilde{J}_1((s, \infty); t) = \text{Det}(\mathbb{I} - \tilde{K}_{\text{Airy}}|_{(s, \infty)})$ を TW 法で評価



$\varphi(x) = \text{Ai}(x)$, $\psi(x) = \text{Ai}'(x)$ は, Lax 行列要素 \downarrow をもつ 1 階 LDE を満たす
 $m(x) = 1$, $A(x) = 0$, $B(x) = 1$, $C(x) = -x$

\Downarrow

$\tilde{\varphi}(x)$, $\tilde{\psi}(x)$ は, Lax 行列要素 \downarrow をもつ 1 階 LDE を満たす

$$\tilde{m}(x) = (x - t)^2$$

$$\tilde{A}(x) = -ab(a^2 - 1) - a^2t + (a^2 + ab^3 - b^2t)x + b^2x^2 := \sum_{j=0}^2 \alpha_j x^j$$

$$\tilde{B}(x) = b^2(a^2 - 1) + 2abt + t^2 - (2ab + b^4 + 2t)x + x^2 := \sum_{j=0}^2 \beta_j x^j$$

$$\tilde{C}(x) = a^2(a^2 - 1) - (ab - t)^2x - 2(ab - t)x^2 - x^3 := \sum_{j=0}^3 \gamma_j x^j$$

Jánossy 密度 for K_{Airy}

Garnier 系 ODE

$$\partial_s \log \text{Det}(\mathbb{I} - \tilde{K}_{\text{Airy}}|_{(s, \infty)}) = p_0(s)q'_0(s) - q_0(s)p'_0(s)$$

$$(s-t)^2 q'_0 = \sum_{j=0}^2 \left(\alpha_j + \sum_{k=0}^1 \alpha_{j+k+1} v_k + \sum_{k=0}^2 \gamma_{j+k+1} u_k \right) q_j - v_0 q_0 \\ + \sum_{j=0}^2 \left(\beta_j + \sum_{k=0}^1 \alpha_{j+k+1} u_k + \sum_{k=0}^1 \beta_{j+k+1} v_k \right) p_j + u_0 p_0$$

$$(s-t)^2 p'_0 = \sum_{j=0}^3 \left(-\gamma_j + \sum_{k=0}^1 \alpha_{j+k+1} w_k + \sum_{k=0}^2 \gamma_{j+k+1} \tilde{v}_k \right) q_j - w_0 q_0 \\ + \sum_{j=0}^2 \left(-\alpha_j + \sum_{k=0}^1 \alpha_{j+k+1} \tilde{v}_k + \sum_{k=0}^1 \beta_{j+k+1} w_k \right) p_j + \tilde{v}_0 p_0$$

$$u'_0 = -q_0 q_0, \quad u'_1 = -q_0 q_1, \quad u'_2 = -q_0 q_2, \quad v'_0 = -q_0 p_0, \quad v'_1 = -q_0 p_1, \quad v'_2 = -q_0 p_2 \\ w'_0 = -p_0 p_0, \quad w'_1 = -p_0 p_1 \quad (10 \text{ 元連立, 境界条件 @ } s \gg 1)$$

$$q_1 = s q_0 - v_0 q_0 + u_0 p_0, \quad q_2 = s^2 q_0 - v_0 q_1 - v_1 q_0 + u_0 p_1 + u_1 p_0$$

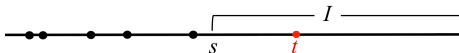
$$q_3 = s^3 q_0 - v_0 q_2 - v_1 q_1 - v_2 q_0 + u_0 p_2 + u_1 p_1 + u_2 p_0$$

$$p_1 = s p_0 - w_0 q_0 + \tilde{v}_0 p_0, \quad p_2 = s^2 p_0 - w_0 q_1 - w_1 q_0 + \tilde{v}_0 p_1 + \tilde{v}_1 p_0$$

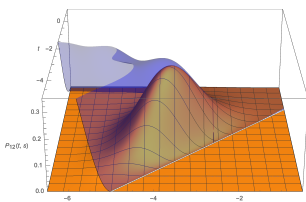
$$\tilde{v}_0 = v_0, \quad \tilde{v}_1 = v_1 - v_0 \tilde{v}_0 + u_0 w_0, \quad \tilde{v}_2 = v_2 - v_0 \tilde{v}_1 - v_1 \tilde{v}_0 + u_0 w_1 + u_1 w_0$$

最大&第2固有値の連結分布 vs \mathfrak{S}_N 増加部分列

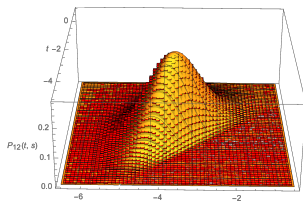
$\tilde{J}_1((s, \infty); t) = \text{Det}(\mathbb{I} - \tilde{K}_{\text{Airy}}|_{(s, \infty)})$ を TW 法で評価



連結分布 : $P_{12}(t, s) = \rho_1(t) \partial_s \tilde{J}_1((s, \infty); t)$

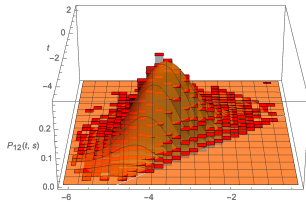


連結分布と 2 点相関関数



Hermite RM の最大 & 第 2 固有値

$N = 128$

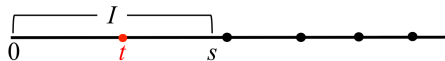


最長 & 第 2 増加部分列

$N = 8096$

Jánossy 密度 for K_{Bessel}

$\tilde{J}_1((0, s); t) = \text{Det}(\mathbb{I} - \tilde{K}_{\text{Bessel}}|_{(0, s)})$ を TW 法で評価



$\varphi(x) = J_\nu(\sqrt{x})$, $\psi(x) = \frac{\sqrt{x}}{4} (J_{\nu-1}(\sqrt{x}) - J_{\nu+1}(\sqrt{x}))$ は, Lax 行列要素

$m(x) = x$, $A(x) = 0$, $B(x) = 1$, $C(x) = \frac{1}{4}(x - \nu^2)$ をもつ LDE を満たす

↓

$\tilde{\varphi}(x), \tilde{\psi}(x)$ は, Lax 行列要素 ↓ をもつ 1 階 LDE を満たす

$$\tilde{m}(x) = x(x - t)^2$$

$$\tilde{A}(x) = -ab(a^2 - 1) - a^2t + \frac{\nu^2 b^2}{4}(ab - t) + \left(a^2 + \frac{ab^3 + b^2t + \nu^2 b^2}{4}\right)x - \frac{b^2}{4}x^2 := \sum_{j=0}^2 \alpha_j x^j$$

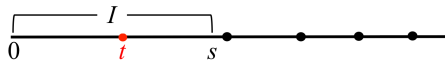
$$\tilde{B}(x) = b^2(a^2 - 1) + 2abt + t^2 - \frac{\nu^2 b^4}{4} + \left(-2ab + \frac{b^4}{4} - 2t\right)x + x^2 := \sum_{j=0}^2 \beta_j x^j$$

$$\tilde{C}(x) = a^2(a^2 - 1) - \frac{\nu^2}{4}(ab - t)^2 + \left(\frac{(ab - t)^2}{4} - \frac{\nu^2}{2}(ab - t)\right)x + \left(\frac{ab - t}{2} - \frac{\nu^2}{4}\right)x^2 + \frac{x^3}{4}$$

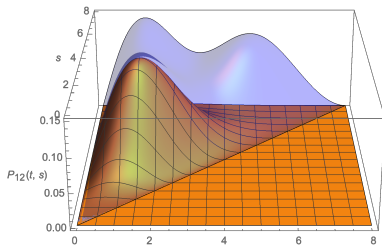
$$\Rightarrow \alpha_j, \beta_j, \gamma_j \text{ を含む Garnier 系 ODE (10 元連立, 境界条件 @ } s \ll 1) := \sum_{j=0}^3 \gamma_j x^j$$

最小&第2固有値の連結分布

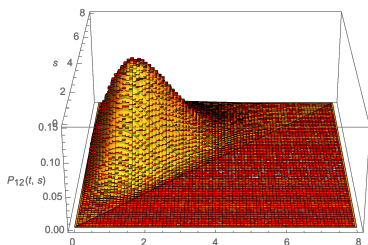
$\tilde{J}_1((0, s); t) = \text{Det}(\mathbb{I} - \tilde{\mathbf{K}}_{\text{Bessel}}|_{(0, s)})$ を TW 法で評価



連結分布 : $P_{12}(t, s) = -\rho_1(t)\partial_s \tilde{J}_1((0, s); t)$



連結分布と 2 点相関関数



複素正方形 RM の最小 & 第 2 特異値

$N = 128$

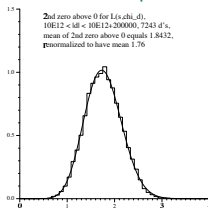
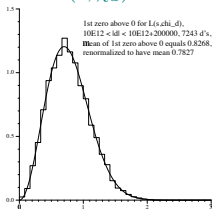
最小&第2固有値の連結分布 vs L 関数零点

計算手法 Rubinstein 1998

- ① $|d| \gg 1$ を固定. 関数等式 $L(s, \chi_d) := \sum_{n=1}^{\infty} \chi_d(n) n^{-s} \stackrel{\text{接続}}{=} (\Gamma \text{因子}) \times L(1-s, \chi_d)$
- ② 十分大きな n まで $\chi_d(n)$ を求める by Legendre : $\chi_d(n) \chi_n(d) = (-1)^{(d-1)(n-1)/4}$
- ③ 収束域 $\Re(s) > 1$ 外にある零点 $L(\frac{1}{2} + ix_k, \chi_d) = 0$ を求める
 by Riemann-Siegel 公式 : $L(s) = (s \text{ 側の有限和}) + (1-s \text{ 側の有限和}) + \text{補正}$
- ④ 規格化 (unfolding) : $x_k^{(\text{uf})} = \frac{\log(|d|/\pi)}{2\pi} x_k$ [back to step 1]

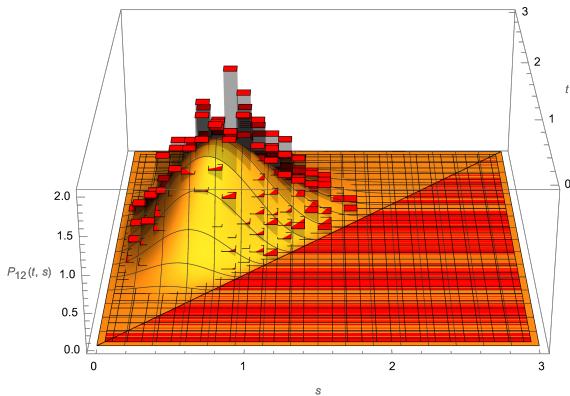
$L(s, \chi_d)$ の最小・第2零点の分布 vs USP

$(10^{12} < |d| < 10^{12} + 10^5)$



最小&第2固有値の連結分布 vs L 関数零点

$L(s, \chi_d)$ の最小・第2零点の連結分布 vs USp



$3200 < |d| < 6400$

d が小さすぎ & 統計不足!

結語

要約

- TW 条件 : 有理型 $\mathfrak{sl}(2)$ 接続に対する共変的定数切断 $(\partial_x + \mathcal{A}(x))\Psi(x) = 0$
- p 個の固有値の固定 $\mathbf{K} \doteq \frac{\bar{\Psi}(x)\Psi(y)}{x-y} \mapsto \tilde{\mathbf{K}} \doteq \frac{\bar{\tilde{\Psi}}(x)\tilde{\Psi}(y)}{x-y}$ は
 有理型 $SL(2)$ gauge 変換 $\Psi(x) \mapsto \tilde{\Psi}(x) = U(x)\Psi(x)$
- TW 条件は \mathbf{K} から \mathbf{K} に遺伝. TW 法が Gap 確率に適用可なら Jánossy 密度にも可
- $\tilde{\mathbf{K}}_{\text{Airy}}, \tilde{\mathbf{K}}_{\text{Bessel}}$ から連結分布 $P_{12}(t, s)$ を Garnier ODE 系の解として決定
- 先行研究と異なり汎用的. q -直交, 超 Airy, 有限 N, \dots の核 $\tilde{\mathbf{K}}$ に適用可. $P_{1\dots p}$ も容易
- 最大・第 2 EV の連結分布 $\xrightarrow{\text{fit}}$ 対称群 \mathfrak{S}_N の最長・第 2 増加部分列の分布 ✓
- 最小・第 2 EV の連結分布 $\xrightarrow{\text{fit}}$ Dirichlet $L(s, \chi_d)$ の最小・第 2 零点の分布 Δ
 [数論的"数値実験"の系統誤差 $\propto 1/\log N$ のため現状データ不足, 有限サイズスケーリングを議論できず]

結語

課題

- $\forall r$ 成分の可積分核 $\mathbf{K} \doteq \frac{\mathbf{f}(x) \cdot \mathbf{g}(y)}{x - y}$, $\mathbf{f}(x) \cdot \mathbf{g}(x) = 0$ にも拡張可 ($\mathrm{SL}(r)$)
⇒ GUE+定数行列 Pearcey 核 ($r = 3$) の Jánossy 密度 cf. [Brézin-氷上 1998]
- $(2, 2k+1)$ 多重臨界(超 Airy) 核の Jánossy 密度 $\simeq c < 1$ 非臨界弦における ZZ brane
⇒ instanton の初項 [花田 et al.2004] を非摂動効果の完全和に改善できるはず
- $\tau = \mathrm{Det}(\mathbb{I} - \tilde{\mathbf{K}}_{\mathrm{Ai}}|_{(s, \infty)})$ に対する Hamiltonian $\exists H(q_0, p_0) : q'_0 = \frac{\partial H}{\partial p_0}, p'_0 = -\frac{\partial H}{\partial q_0} ?$
⇒ 可積分系に帰着, 固定した点 $\{t\}$ を Toda 時間変数 と見なせるはず